

پنهانه بندی مخاطرات جوی منطقه‌ی شمال شرق ایران

Abbas Mofidi^۱- استادیار اقلیم شناسی، دانشگاه فردوسی مشهد، مشهد، ایران
Sیدرضا حسین زاده- دانشیار ژئومورفولوژی، دانشگاه فردوسی مشهد، مشهد، ایران
محترم محمدیاریان- کارشناس ارشد اقلیم شناسی، دانشگاه فردوسی مشهد، مشهد، ایران

تاریخ دریافت: ۱۳۹۱/۴/۱۵ تاریخ تصویب: ۱۳۹۲/۳/۲۶

چکیده

هدف اصلی مقاله حاضر، پنهانه بندی مخاطرات جوی در شمال شرق ایران (خراسان بزرگ) می‌باشد. برای این منظور از داده‌های سازمان هواشناسی کشور در مقیاس روزانه و ماهانه برای تعداد ۱۷ ایستگاه هواشناسی سینوپتیک در محلوده سه استان خراسان شمالی، خراسان رضوی و خراسان جنوبی برای یک دوره ۳۸ ساله (۱۹۷۱-۲۰۰۸) استفاده شد. در این تحقیق تعداد ۱۳ مخاطره جوی مهم در محلوده خراسان بزرگ مورد بررسی قرار گرفت. بطور کلی پدیده‌ها در قالب دو روش اصلی مورد بررسی قرار گرفت و نقشه‌های فراوانی وقوع به تفکیک برای هریک از مخاطرات با بهره گیری از سامانه اطلاعات جغرافیایی (GIS) تهیه شد. در ادامه با در نظر گرفتن میزان مشابهت‌ها و تفاوت‌ها، ۱۳ مخاطره جوی یاد شده در قالب ۳ دسته اصلی مخاطرات دمایی، مخاطرات مرتبط با دید و مخاطرات بارشی بندی شدند و برای هر دسته نقشه پنهانه بندی فضایی تهیه گردید. در نهایت با ترکیب نتایج حاصل از بررسی تمامی مخاطرات، نقشه جامع مخاطرات جوی منطقه مطالعاتی تهیه شد. یافته‌های تحقیق نشان داد بخش‌های کوهستانی شمال خراسان از جهت فراوانی وقوع رخدادهای، جزء پرمخاطره ترین مناطق محسوب می‌گردند، در حالی که بخش‌های غربی و جنوبی خراسان از کمترین میزان خطرپذیری برخوردارند. الگوی فضایی وقوع مخاطرات بیانگر روند افزایشی مخاطرات دمایی از شمال به جنوب بوده و در مقابل مخاطرات بارشی از الگویی معکوس برخورداراند، مخاطرات مرتبط با دید یک الگوی غالب مداری را بویژه در نیمه شمالی خراسان نشان می‌دهند، بطوری که از غرب به شرق بر میزان وقوع رخدادهای مرتبط با دید افزوده می‌شود.

کلید واژه‌ها: مخاطرات جوی، پنهانه بندی اقلیمی، خراسان بزرگ.

۱. مقدمه

آب و هوای مسبب بسیاری از مخاطرات طبیعی است. این مخاطرات در طول تاریخ بطور مداوم زندگی بشر را تحت تأثیر قرار داده و موجب وارد آمدن خسارت به محیط گردیده است. در این راستا مخاطرات جوی که خود از زیر مجموعه‌های مخاطرات طبیعی محسوب می‌گردد، با منشأ جو عمل می‌کنند. مخاطرات جوی تنها زمانی به رسمیت شناخته می‌شوند که رخدادهای حدی، فشار سنگینی را برپیکره جوامع انسانی وارد نمایند. در واقع رخدادهای حدی زمانی یک «مخاطره» تلقی می‌گردند که سطح حداقلی از ضرر و زیان را بر جوامع انسانی و دارایی‌ها و اموال او تحمیل نمایند (رسمیت^۱، ۱۹۹۷: ۳۰۴). مخاطرات جوی تقریباً در همه جای کره زمین بوقوع می‌پیوندند و مکان‌های معده‌دار در دنیا وجود دارد که از اثرات آنها مصون مانده و یا کمتر تحت تأثیر آنها قرار گرفته باشند. هر یک از عناصر جوی می‌توانند به تنهایی مخاطرات جوی مهمی مانند موج گرمایی و گرمایشی، بادهای شدید، توفان، بارش سنگین، تگرگ، یخ‌بندان و سرمازدگی را در پی داشته باشند. اما بیشترین خسارات جانی و مالی بر اثر پدیده‌های جوی ترکیبی و خطرات ثانویه ناشی از آنها ایجاد می‌گردد (سازمان هواشناسی مازندران، ۱۳۹۰).

بر اساس آمارهای بین المللی تاکنون حدود ۴۳ مخاطره طبیعی شناسایی شده است. از این تعداد، ۳۴ مخاطره در کشور ما وجود رخ می‌دهد که قریب به ۹۰ تا ۹۵ درصد از آنها منشأ آب و هوایی دارند. در بین مخاطرات طبیعی فراوان‌ترین مخاطرات، گربادها هستند که بیشتر آنها در ایالات متحده آمریکا رخ می‌دهند. میزان وقوع این مخاطره جوی، در اوخر قرن بیستم، از هر مخاطره طبیعی دیگری بیشتر بوده است (بیش از ۲۵۰ رخداد در سال). سیل‌ها و سیکلون‌های حاره‌ای از نظر فراوانی بعد از گربادها قرار دارند. سونامی نیز در رتبه چهارم قرار دارد. در این میان حدود ۸۶ درصد از مخاطرات طبیعی قرن بیستم را مخاطرات اقلیمی تشکیل داده است (محمدی، ۱۳۸۷). از سویی، موقعیت کشور ما چه از نظر زمین‌لرزه و چه از نظر تغییرات بارش، دما و پدیده‌های ناشی از آنها نگران کننده بوده، بطوری که به عنوان دهمین کشور بالاترین دنیا شناخته شده است. در این میان، شمال شرق کشور دارای آب و هوای نیمه مرطوب تا نیمه خشک است. با توجه به شرایط اقلیمی، این منطقه هر از چندگاهی تحت تأثیر بارش‌های سنگین قرار گرفته و متعاقب آن وقوع سیل‌های مهیب خسارات جانی و مالی هنگفتی بر جای می‌گذارد. بیشترین حوادث غیر مترقبه استان خراسان به ترتیب زلزله، سیل، سرمازدگی و خشکسالی است. به طوری که سرمازدگی و سیل‌های اخیر فقط در استان خراسان رضوی ۷۴۰ میلیارد ریال خسارت به دنبال داشته است (خبرگزاری مهر، ۱۳۹۱).

به خاطر اهمیت موضوع سلامت و امنیت انسان‌ها تاکنون مطالعات زیادی در مورد مخاطرات محیطی و جوی در دنیا صورت گرفته است. تحقیق نظام مند در مورد مخاطرات طبیعی، در واقع با کارهای گلبرت وايت^۱ (۱۹۶۳؛ ۱۹۴۵) آغاز گردیده است. با توجه به تنوع بسیار زیاد مخاطرات جوی و حجم بسیار زیاد تحقیقات انجام شده در این زمینه، در ادامه تنها به برخی از پژوهش‌ها اشاره خواهد شد. پژوهش‌های انجام شده در قالب سه دسته اصلی مخاطرات، شامل مخاطرات بارشی، مخاطرات دمایی و مخاطرات مرتبط با دید مورد ارزیابی قرار خواهند گرفت.

در سال ۱۹۹۸ در پرتقال به منظور تحلیل خشکسالی‌ها یک مدل توزیع منطقه‌ای به کارگرفته شد و نقشه‌های پهنه‌بندی خشکسالی و منحنی‌های شدت، مساحت و فراوانی خشکسالی ترسیم گردید (هنریکوزو^۲، ۱۹۹۸). دلا زیوس^۳ و همکارانش (۲۰۰۰) براساس تحلیل منحنی‌های شدت، تداوم و فراوانی خشکسالی، نقشه‌های هم شدت خشکسالی را برای یونان ترسیم نمودند و به این نتیجه دست یافتند که نواحی شمالی یونان نسبت به نواحی جنوبی آن از خشکسالی‌های شدیدتری برخوردار است. در مطالعه مخاطرات اقلیمی در سطح کشور، سلطانی و سعادتی (۱۳۸۶) نیز به پهنه‌بندی خشکسالی در استان اصفهان با استفاده از شاخص SPI پرداختند و به این نتیجه دست یافتند که به طور عمده خشکسالی‌های متوسط و شدید در محدوده ایستگاه داران و فریدون شهر واقع در غرب استان اصفهان بوقوع می‌پیوندد. این در حالی است که خشکسالی‌های بسیار شدید عمدتاً در بخش‌های شرق- شمال شرق اصفهان و غرب شهرستان اصفهان قابل مشاهده است. ایشان همچنین مناطق دارای خطر بالای وقوع خشکسالی را به منظور برنامه ریزی‌های آتی و اتخاذ سیاست مدیریتی مشخص نموده‌اند. بداق جمالی و جوانمرد (۱۳۸۱) پایش و پهنه‌بندی وضعیت خشکسالی استان خراسان را با استفاده از شاخص SPI انجام دادند که در نهایت نقشه‌های پهنه‌بندی خشکسالی استان خراسان را با استفاده از دو مدل عکس فاصله و گریجینگ ارائه نموده‌اند. نتایج این پژوهش نشان می‌دهد که نمایه SPI به عنوان ابزاری مناسب جهت پایش شرایط خشکسالی استان خراسان قابل استفاده است. استرلینگ^۴ (۱۹۸۹) در تحقیقی جامع با توجه به منشأ، مورفولوژی و در عین حال میزان بارشی که هر سالمانه تندری ایجاد می‌نماید اقدام به پهنه‌بندی مناطق مختلف آمریکا نمود. استرلینگ در نهایت ۵ منطقه مشخص را برای وقوع توفان‌های تندری در آمریکا معرفی نموده است. وی در تحقیق دیگری از توفان‌های تندری به عنوان معضل مهم آمریکا در قرن بیستم یاد نموده است. در ایران غیبی و همکاران (۲۰۰۳) با استفاده از تصاویر ماهواره‌ای و روش شبکه‌های عصبی اقدام به تعیین

^۱ White

^۲ Henriques

^۳ Delazios

^۴ Easterling

ویژگی‌ها و طبقه‌بندی توفان‌های تندی در مناطق جنوب و جنوب‌غرب کشور نموده‌اند. ایکن و بران^۱ (۲۰۰۱) مطالعه‌ای پیرامون کلیماتولوژی بارش تگرگ در کانادا طی دوره ۱۹۷۷-۱۹۹۳ انجام دادند و در این تحقیق به این نتیجه دست یافتند که بالاترین فراوانی وقوع تگرگ در شهرهای بریتیش کلمبیا و آلبرتا اتفاق می‌افتد و همچنین توپوگرافی در توزیع مکانی بارش تگرگ نقش مؤثری ایفا می‌کند. کاری مشابه، بداق جمالی و همکاران (۱۳۸۹) پدیده تگرگ را در ایران مورد بررسی قرار داده و روش‌ها و راهکارهایی برای کنترل و مقابله با آن را به نمودند. آنها به این نتیجه رسیدند که از نظر وقوع، استان‌های چهار محال بختیاری، ایلام، تهران و کردستان از بالاترین میزان متوسط سالانه وقوع تگرگ (در حدود ۴ بار) برخوردارند. همچنین بیشترین سطح زیر کشت آسیب دیده مربوط به محصول گندم آبی با میانگین سالانه ۸۱۲۶۹۰ می‌باشد.

در رابطه با مخاطرات مرتبط با دید، انگلستادرل^۲ (۲۰۰۱) در پهنه‌بندی مکانی فراوانی وقوع گرد و غبارهای جهان بر نقش بستر خشک دریاچه‌ها و صحرای بزرگ آفریقا به عنوان مولد اصلی گرد و غبار تأکید دارد. ناسادرج^۳ و همکاران (۲۰۰۲) به بررسی و تجزیه و تحلیل وقوع توفان‌های گرد و خاک در مغولستان پرداختند. در ابتدا به ترسیم نقشه توزیع توفان‌های گرد و غبار مبادرت ورزیدند و از این مطالعه نتیجه گرفتند که وقوع توفان‌های گرد و خاک در کوهستان‌های آلتایی، حتی، خانگایی کمتر از ۵ روز بوده، در حالی که در صحرای گبی و نواحی نیمه بیابانی تعداد توفان‌ها به ۲۰ تا ۳۷ مورد در سال بالغ می‌گردد. در ایران، علیجانی (۱۳۷۶) ضمن بررسی علل وقوع گرد و غبارها، نقشه توزیع مکانی و زمانی وقوع گرد و غبارها را ارایه نمود. اسماعیلی (۱۳۸۵) با استفاده از فناوری سنجش از دور به پهنه‌بندی مقدماتی مراکز اصلی تولید غبار در کشور مبادرت ورزیده است. لشکری و کیخسروی (۱۳۸۷) به تحلیل آماری-سینوپتیکی توفان‌های گرد و غباری استان خراسان رضوی در فاصله زمانی ۱۹۹۳-۲۰۰۵ پرداختند. مهرشاهی و نکونام (۱۳۸۸) به بررسی آماری پدیده گرد و غبار و تحلیل الگوی وزش بادهای مولد گرد و غبار در شهرستان سبزوار پرداختند و به این نتیجه دست یافتند که بیشترین احتمال وقوع گرد و غبار در ماههای اردیبهشت و خرداد است و در بیش از ۷۱ درصد موقع پدیده یاد شده در ساعت بعد از ظهر بوقوع می‌پیوندد.

مخاطرات دمایی از جمله مخاطراتی محسوب می‌گردند که گستره بسیار وسیعی را در سطح جهان از خود متأثر می‌سازند و در عین حال حجم بالایی از تحقیقات انجام شده را به خود اختصاص داده‌اند. مطالعه در مورد سرما و یخیندان در جهان به مطالعه ریکنگل^۴ به حدود ۱۵۰ سال قبل بر می‌گردد (سازمان هواشناسی

^۱ Etkin and Brun

^۲ Engelstadler

^۳ Natsagdorj

^۴ Recknagle

جهانی، ۱۹۶۳). در این میان از اولین تحلیل‌های مکانی یخبندان می‌توان به کار کاپریو^۱ (۱۹۶۱) اشاره نمود. وی نحوه تهیه و تحلیل نقشه‌های یخبندان را ارائه کرده است. وستال^۲ (۱۹۷۱) زمان وقوع اولین و آخرین یخبندان‌ها را برای دوره سرد سال در ایالات متحده امریکا گزارش نمود. مدلين و بلتراندو^۳ (۲۰۰۵) پراکندگی مکانی یخبندان‌های دیررس بهاره و عوامل تأثیرگذار بر روی آن را در ناحیه تاکداری شمال فرانسه مورد مطالعه قرار دادند. آنها عوامل تأثیرگذار بر پراکندگی مکانی یخبندان را در دو مقیاس ماکروکلیما و توپوکلیما (عوامل محلی و توپوگرافی) مدنظر قرار دادند. در این میان، نخستین پژوهشی که در رابطه با وقوع یخبندان در ایران به انجام رسید می‌توان به کار هاشمی (۱۳۴۸) اشاره نمود که در آن با استفاده از آمار ۶۰ ساله تهران، احتمالات وقوع سرما و تاریخ‌های اولین و آخرین یخبندان‌ها را در چهار آستانه حرارتی با استفاده از توزیع نرمال بررسی نمود. از سویی، حیدری و سعیدآبادی (۱۳۸۶) به ناحیه بندی سوزباد در شمال غرب و غرب ایران پرداختند. گل رخ (۱۳۸۹) بررسی مشابه‌ای را برای شمال شرق ایران به انجام رسانید. گل رخ در مطالعه سوزبادهای خراسان بیان می‌کند که علاوه بر دو عامل عرض جغرافیایی و ارتفاع، توپوگرافی منطقه نیز در وقوع سوزبادها مؤثر می‌باشد. ایشان وقوع سوزباد در خراسان را ناشی از فرارفت هوای سرد پرشمار سیری به ویژه در اوچ دوره سرد سال می‌داند. همچنین گذرجهه‌های سرد را نیز عامل دیگری برای وقوع سوزباد در سطح منطقه معرفی می‌نماید. با توجه به این که شمال شرق ایران هرساله خسارات هنگفت مالی و جانی را در نتیجه وقوع انواع مخاطرات جوی چون خشکسالی، سیل، سوزباد، تگرگ و غیره متحمل می‌شود. شناخت دقیق مناطق دارای پتانسیل بالای مخاطرات جوی، همچنین تعیین استعداد بالاخیزی مناطق مختلف خراسان بزرگ می‌تواند اطلاعات مناسب و با ارزشی را درجهت پیشگیری و یا کنترل این بلاایا فراهم آورد. بر این اساس هدف اصلی پژوهش حاضر، پهنه‌بندی مخاطرات جوی خراسان بزرگ می‌باشد. بر این اساس، مطالعه حاضر در صدد آن است که ضمن بررسی مجازی هریک از مخاطرات جوی در منطقه شمال شرق ایران، پهنه‌بندی جامعی از میزان وقوع مخاطرات جوی در خراسان بزرگ ارائه نماید.

۲. منطقه مورد مطالعه

محدوده مطالعاتی این مقاله منطبق بر مرزهای جغرافیایی سه استان خراسان شمالی، خراسان رضوی و خراسان جنوبی است که با وسعت حدود ۳۰۰ هزار کیلومتر مربع بین $۲۱^{\circ} ۳۰' \text{ تا } ۱۷^{\circ} ۳۸'$ عرض شمالی و $۲۸^{\circ} ۵۵' \text{ تا } ۱۴^{\circ} ۶۱'$ طول شرقی واقع شده است. این منطقه به دلیل گسترش قابل توجه در امتداد عرض جغرافیایی و همچنین میزان تأثیرپذیری آن از جریان‌های هوایی مختلف به خصوص بادهای غربی، پرشمار

^۱ Caprio

^۲ Vestal

^۳ Beltrando

سیبری، بادهای ۱۲۰ روزه و جریان‌های جنوب غربی از تنوع اقلیمی قابل توجهی برخوردار است. این منطقه یک نوار گذار از بیابان‌های واقعی در جنوب تا اقالیم مرطوب و نیمه‌مرطوب در شمال و از بیابان‌های گرم تا بیابان‌های سرد را دربر می‌گیرد. اطلاق نام منطقه شمال‌شرق و یا خراسان بزرگ صرفاً یک مفهوم جغرافیایی داشته و اغلب محققین و پژوهشگران با هر دو نام آشنایی کافی دارند. تنوع شرایط اقلیمی، تنوع مخاطرات را در منطقه به دنبال دارد و این در حالی است که هنوز مطالعه جامعی که تمامی مخاطرات جوی را بطور یکجا و در ارتباط با هم برای منطقه مطالعاتی مورد بررسی قرار دهد، صورت نگرفته است. به عبارت دیگر هیچ گونه پنهانه بندهی ترکیبی نیز برای تبیین وضعیت وقوع مخاطرات جوی برای شمال شرق کشور به انجام نرسیده و این مقاله بدین منظور ارایه گردیده است.

۳. مواد و روش‌ها

برای انجام پژوهش از داده‌های دیده‌بانی ایستگاه‌های هواشناسی، شامل بارش، دمای متوسط، دمای حداقل، دمای حداکثر، جهت و سرعت باد، وضعیت دید و وضعیت هوا استفاده شد. داده‌های فوق در مقیاس‌های روزانه و ماهانه از سازمان هواشناسی کشور برای تعداد ۱۷ ایستگاه سینوپتیک در محدوده سه استان خراسان شمالی، خراسان رضوی و خراسان جنوبی (خراسان بزرگ) دریافت شد و برای یک دوره ۳۸ ساله (۱۹۷۱-۲۰۰۸) مورد استفاده قرار گرفت. شکل ۱ محدوده مطالعه و ایستگاه‌های استفاده شده در این تحقیق را نشان می‌دهد.

روش انجام تحقیق در این مقاله به صورت مرحله به مرحله به شرح زیر بیان می‌گردد:

الف- تعیین مخاطرات جوی برای منطقه در وله اول بر اساس سوابق موجود، گزارش‌ها و بررسی‌های پیشین و درگام دوم براساس پردازش‌های انجام شده بر روی داده‌های ایستگاه‌های هواشناسی صورت گرفت. بررسی‌ها بیانگر آن است که تعداد مخاطرات جوی برای محدوده خراسان بزرگ به ۱۳ مورد بالغ می‌گردد، که عبارتند از:
 ۱- یخ‌بندان- ۲- روزهای توأم با غبار- ۳- تگرگ- ۴- توفان تندri- ۵- بارش شدید- ۶- بارش حدی- ۷- امواج گرمایی- ۸- سوزی‌باد- ۹- کولاک (باد شدید توأم با برف)- ۱۰- مه گرفتگی- ۱۱- خشکسالی (شدید و خیلی شدید)
 ۱۲- برف سنگین- ۱۳- توفان گردوغبار.

ب- پس از تعیین انواع مخاطرات جوی در سطح منطقه، جهت استخراج میزان فراوانی وقوع هر یک از مخاطرات به یکی از دو روش زیر عمل گردید:

۱- استفاده از کدهای هواشناسی معین که توسط سازمان هواشناسی جهانی برای هریک از پدیده‌ها تعیین گردیده و بیانگر پدیده‌های جوی مختلف از جمله مخاطرات جوی هستند. کدهای یادشده از جدول وضعیت

جوی (WW) که به صورت ۳ ساعته توسط سازمان هواشناسی کشور تهیه گردیده، قابل استخراج می‌باشد (جدول ۱). در این رابطه برای تعیین مخاطراتی چون تگرگ، بادهای شدید، توفان تندری و صاعقه، برف سنگین، کولاک، مه گرفتگی و توفان‌های گردوغباری و روزهای توأم با گردوغبار از فایل داده‌های ۳ ساعته سازمان هواشناسی کشور برای تعداد ۱۷ ایستگاه هواشناسی سینوپتیک در سطح منطقه برای یک دوره ۳۸ ساله استفاده شد. کدهای مربوط به هریک از مخاطراتات جوی در جدول ۱ آورده شده است. با استفاده از داده‌های دیده بانی ساعتی وضعیت جو، فراوانی وقوع تعداد ۷ مخاطرات جوی استخراج شد.

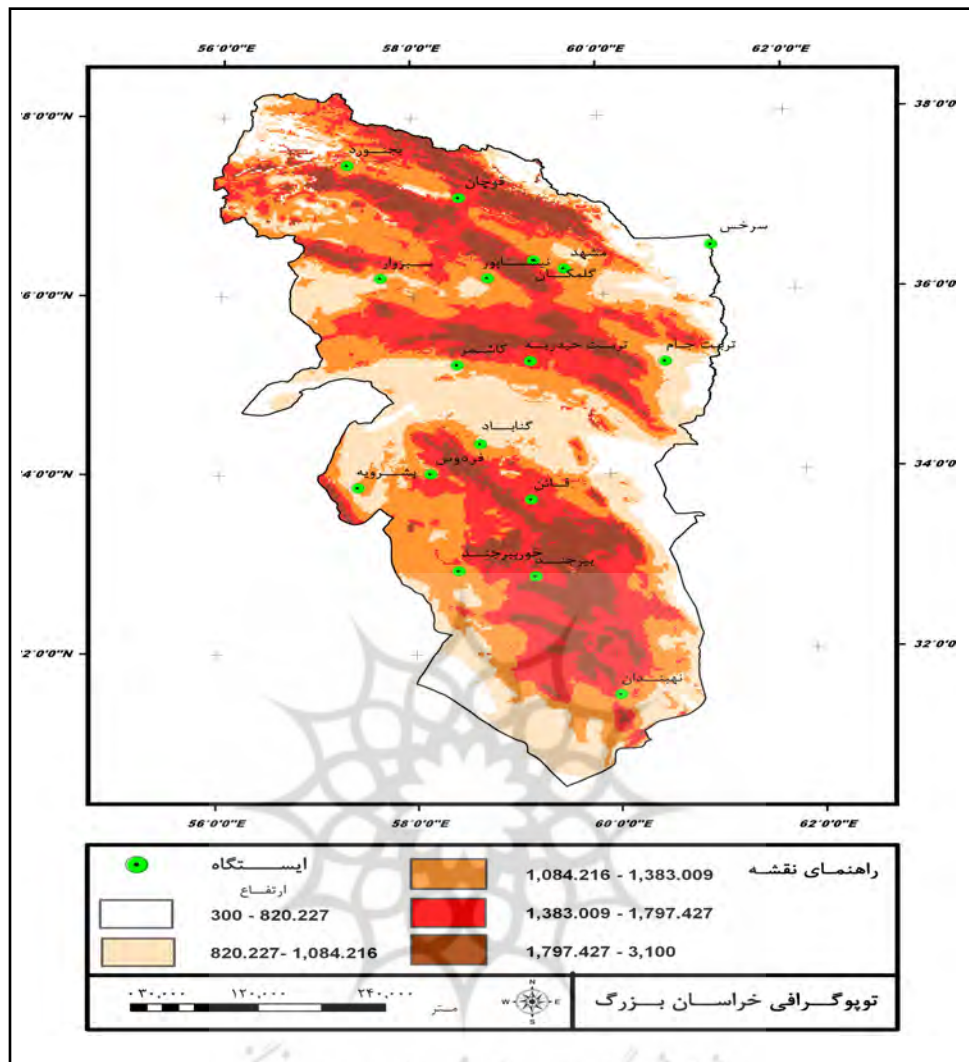
۲- برای برخی از مخاطراتات جوی همچون یخ‌بندان، خشکسالی، بارش‌های شدید و حدی، امواج گرمایی و سوزی‌باد کاربرد دارد. برای این پدیده‌ها روش‌های بررسی مجرزا و ویژه‌ای طراحی گردیده تا بتواند به شکل مناسبی بیانگر وقوع این پدیده‌ها باشد. روش محاسبه این دسته از مخاطراتات جوی نیز در جدول ۱ ارائه گردیده است.

پس از استخراج داده‌های فراوانی وقوع سالانه برای هر یک از مخاطراتات، با بهره‌گیری از سامانه اطلاعات جغرافیایی، نقشه‌های فراوانی وقوع به تفکیک برای هریک از مخاطراتات تهیه شد. از آنجایی که شیوه درون‌یابی مورد استفاده می‌تواند نتایج نهایی حاصل از تحقیق را بطور قابل ملاحظه‌ای تحت تأثیر خود قرار دهد، به همین جهت، در این مرحله ابتدا سه روش درون‌یابی IDW^۱، اسپلاین^۲ و کریجینگ^۳ بر روی داده‌ها آزمون شد و در نهایت روش کریجینگ به جهت نتایج منطقی‌تر و ارائه فضایی مناسب‌تر مخاطراتات، بر سایر روش‌ها ترجیح داده شد و برای انجام پهنه‌بندی نهایی مورد استفاده قرار گرفت. بدین ترتیب در محیط ArcGIS برای هر یک از مخاطراتات، نقشه فضایی از میزان وقوع تهیه شد. برای آن که در پهنه‌بندی مخاطراتات جوی، تمامی مخاطراتات (لایه‌های اطلاعاتی ورودی) از وزن و ارزش برابر برخوردار باشند، از ابتدا، فراوانی وقوع تمامی مخاطراتات در پنج طبقه خیلی کم، کم، متوسط، زیاد و خیلی زیاد دسته‌بندی شد. در عین حال، جهت خلاصه کردن و دریافت یک دید جامع از میزان وقوع و پراکندگی مخاطراتات جوی در خراسان بزرگ، انواع مخاطراتات مورد بررسی با در نظر گرفتن ماهیت در سه دسته اصلی مخاطراتات جوی شامل مخاطراتات دمایی، مخاطراتات مرتبط با دید و مخاطراتات بارشی دسته بندی شدند.

^۱ Inverse Distance Weighted Interpolation

^۲ Spline

^۳ Kriging



شکل ۱ توپوگرافی منطقه مورد مطالعه و پراکندگی ایستگاه‌های اقلیمی

- مخاطرات بارشی: شامل بارش شدید، بارش حاره‌ای، برف سنگین، توفان تندری، تگرگ و خشکسالی (خشکسالی بسیار شدید و خشکسالی شدید). نتیجه ترکیب مخاطرات یادشده با عنوان نقشه پنهانه بندی مخاطرات بارشی خراسان ارائه گردید.

- مخاطرات مرتبط با دید: روزهای تؤام با گرد و غبار، مه گرفتگی، توفان‌های گرد و غباری و کولاک.

- مخاطرات دمایی: یخبندان، سوزباد و امواج گرمایی.

در آخرین مرحله از تحقیق، با ادغام اطلاعات مربوط به تمامی مخاطرات جوی، نقشه نهایی مخاطره خیزی خراسان تهیه شد. لازم به یادآوری است که، در این مرحله نیز اطلاعات مربوط به تمامی مخاطرات جوی در پنج

طبقه و با ارزش گذاری برابر در تولید نقشه نهایی مورد استفاده قرار گرفت. شایان ذکر است مخاطره کولاک، علی رغم تصور ذهنی، در خراسان مشاهده نگردیده است.

جدول ۱ روش‌های محاسبه یا حدود تشخیص انواع مخاطرات جوی

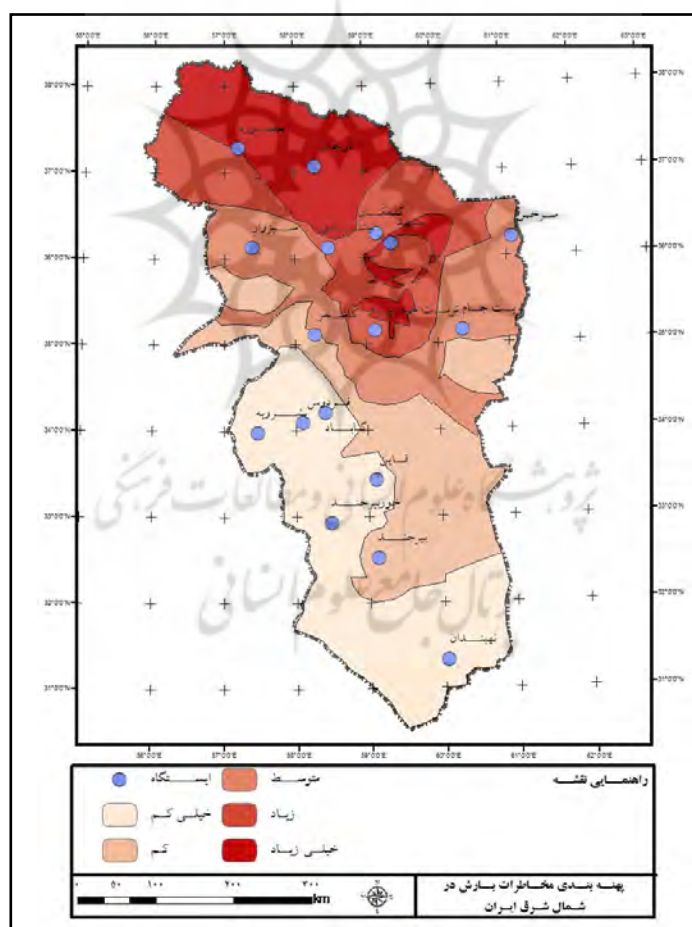
نام	مخاطرات	روش کار
نگره	خشکسالی	جهت محاسبه خشکسالی از شاخص SPI استفاده شد با استفاده از داده‌های بارش ماهانه طبق رابطه (۱) میزان آن محاسبه گردید. در این رابطه مقادیر ۲ و بالاتر به عنوان ترسالی بسیار شدید و مقادیر ۲- و کمتر به عنوان خشکسالی بسیار شدید در نظر گرفته شد. در این پژوهش از SPI ۱۲ماهه استفاده شد. $SPI = \frac{X_{ik} \bar{X}_i}{\sigma_i}$ $\sigma = \text{انحراف از معیار داده‌های } i \text{ اینستگاه} = X_{ik} - \bar{X}_i$ مقدار بارندگی برای i اینستگاه و k این مشاهده. \bar{X}_i متوسط بارندگی اینستگاه i است کدهای ۹۹-۹۶-۹۴-۹۳-۹۰-۸۷-۸۸ و ۲۷
برف سنگین		کدهای ۷۳ تا ۷۵
توفان تندی		کدهای ۹۲ تا ۹۹
بارش شدید و بارش حدی		بارش شدید و حدی بر اساس روش آستانه درصدی (مفیدی و همکاران، ۱۳۸۶) و با استفاده از داده‌های بارش روزانه یک دوره ۱۶ ساله (۲۰۰۷-۱۹۹۲) استخراج شد. در این روش ابتدا برای هریک از اینستگاه‌های خراسان، مقادیر آستانه بارش شدید و حدی براساس 5% و 10% از مقادیر بارش متوسط سالانه آن اینستگاه تعیین گردید. سپس یک آستانه متوسط برای کل خراسان بزرگ به دست آمد. میزان بارش شدید و حدی برای خراسان بزرگ به ترتیب $9/80$ و $19/61$ میلی متر تعیین گردید.
پختندان		از داده‌های حداقل دمای روزانه ماههای اکتبر تا می استفاده شد و دمای صفر درجه و کمتر در نظر گرفته شد.
امواج گرمایی		از داده‌های حداقل دمای روزانه طی دوره آماری ۱۶ ساله (۱۹۹۲-۲۰۰۷) استفاده گردید. میانگین درازمدت دمای حداقل برای هر ماه و هر اینستگاه محاسبه شد. بر اساس تعریف سازمان هواشناس جهانی، در صورتی که درجه ۵ روز متوالی دمای حداقل در یک اینستگاه 5°C فریج و همکاران، (2002) ، برای این بخش از تحقیق، داده‌های دوره گرم سال (آوریل تا اکتبر) مورد استفاده قرار گرفت.
سوزیاد		محاسبه سوزیاد براساس معادله (۲) و با استفاده از داده‌های دمای حداقل روزانه ۱۶ سال آماری ($1992-2007$) انجام شد. $\text{Wind Chill} = 35.74 + 0.6215T(V^{0.16}) + 4.275T(V^{0.11})$ -V- سرعت باد به مایل بر ساعت، -T- دمای هوای در ۲ متری در درجه فارنهایت. سپس از روی جدول درجه بندی دمای سوزیاد (اوسرزوسکی و بلوشتنی، 2005) سوزیادها برای هر اینستگاه استخراج شد. محاسبات برای ماههای سرد سال (اکتبر تا آوریل) انجام شد. در این تحقیق درجه شدت سوزیاد مد نظر نبوده و تنها روزهای همراه با سوزیاد از سایر روزها جدا گردید.
توفان گردوغبار		کدهای ۹ تا ۳۰ تا ۳۵ همراه با دید آفتشی کمتر از ۱۰۰۰ متر
روزهای غباری		از داده‌های روزهای توما با غبار (از مجموع داده‌های دیده بانی ساعتی وضعیت جو) سازمان هواشناسی کشور استفاده شد.
مه گرفتگی		کدهای دیده بانی $40-49$ از فایل متی سازمان هواشناسی کشور استخراج گردید.
کولاک (Blizzard)		کدهای $38-39$ و $70-73$ (بارش برف سبک، متوسط و سنگین) بعلاوه سرعت باد 55 کیلومتر در ساعت و بیشتر، همراه با دید افقی کمتر از 400 متر که حداقل به مدت 3 ساعت تداوم یابد (برانیک، 1997 ؛ شوارتز و شمیدلین، 2002 ؛ شوارتز، 2005). با توجه به شرایط منطقه، در این تحقیق از دید کمتر از 1000 متر استفاده شده است.

۴. بحث و نتایج

۱. ۴. پنهانه بندی مخاطرات بارشی در خراسان بزرگ

نقشه ترکیبی (شکل ۲) مخاطرات بارشی در برگیرنده بارش شدید، بارش حدی، برف سنگین، توفان‌های تندری، تگرگ و خشکسالی (خشکسالی شدید و خشکسالی بسیار شدید) می‌باشد. ویژگی‌های کلی مخاطرات بارشی را به شکل زیر می‌توان خلاصه نمود:

-بخش شمالی استان دارای بیشترین میزان وقوع مخاطرات بارشی است. به عبارتی مناطق شمالی محدوده مورد مطالعه، مخاطره آمیزترین مناطق از لحاظ بارشی و خطرات مربوط به آن محسوب می‌گردند. در عین حال هرچه از شمال منطقه به سمت جنوب پیش رویم میزان این دسته از مخاطرات کاهش می‌یابد. به نظر می‌رسد ارتفاع زیاد مناطق شمالی، به همراه فراوانی عبور سامانه‌های باران زای غربی از محدوده شمالی، از جمله عوامل افزایش این دسته از مخاطرات در شمال منطقه مورد مطالعه باشند.



شکل ۲ مخاطرات بارشی در منطقه مورد مطالعه

- شمال شرق محدوده مورد مطالعه نیز به نوعی در ردیف دوم از لحاظ مخاطره قرار می‌گیرد. در این منطقه مخاطرات بارشی، فراوانی زیاد تا متوسط را تجربه می‌نمایند. ایستگاه‌های قوچان، بجنورد، گل‌مکان، مشهد، تربت حیدریه و نیشابور در بالاترین طبقه از این مخاطره (فراوانی وقوع خیلی زیاد) جای می‌گیرند. بررسی اجمالی نقشه‌ها و جداول تهیه شده برای هر یک از مخاطرات جوی مرتبط با این دسته (در اینجا نشان داده نشده‌اند)، خصوصیات مشابه‌ای را از نظر پراکندگی فضایی وقوع هر یک از مخاطرات نشان می‌دهد.

۲. ۴. پهنه‌بندی مخاطرات مرتبط با دید در خراسان بزرگ

شکل ۳ از ترکیب سه مخاطره روزهای توماً با غبار، توفان‌های گرد و غباری و مه گرفتگی ترسیم شده است. نتایج بررسی به شرح زیر می‌باشد:

- بالاترین فراوانی وقوع مخاطرات دید در شمال شرق خراسان بزرگ مشاهده می‌شود. ایستگاه‌های مشهد، گل‌مکان و سرخس از جمله ایستگاه‌هایی هستند که در پهنه‌بندی مخاطرات جوی مرتبط با دید، بالاترین میزان وقوع را تجربه می‌کنند (شکل ۳).

- به طور کلی بخش‌های شمالی و شمال شرق منطقه مورد مطالعه در دسته‌بندی مخاطرات دید بسیار زیاد، زیاد و متوسط جای می‌گیرند و بدین ترتیب این مناطق بیشترین خطر را دارا می‌باشند.

- بخش‌های شمال‌غرب، مرکز و متهی‌الیه جنوب خراسان نیز با درجات کمتری این مخاطره را تجربه می‌نمایند. در واقع از لحاظ مخاطرات مرتبط با دید، مکان‌های امن‌تری محسوب می‌گردند. بررسی تفکیکی هر یک از مخاطرات این گروه می‌بین آن است که علت پایین بودن فراوانی وقوع مخاطرات دید در مناطق یادشده، در درجه اول پایین بودن تعداد روزهای مهآلود و در درجه بعدی تعداد کمتر روزهای دارای غبار یا توفان‌های گرد و غباری است.

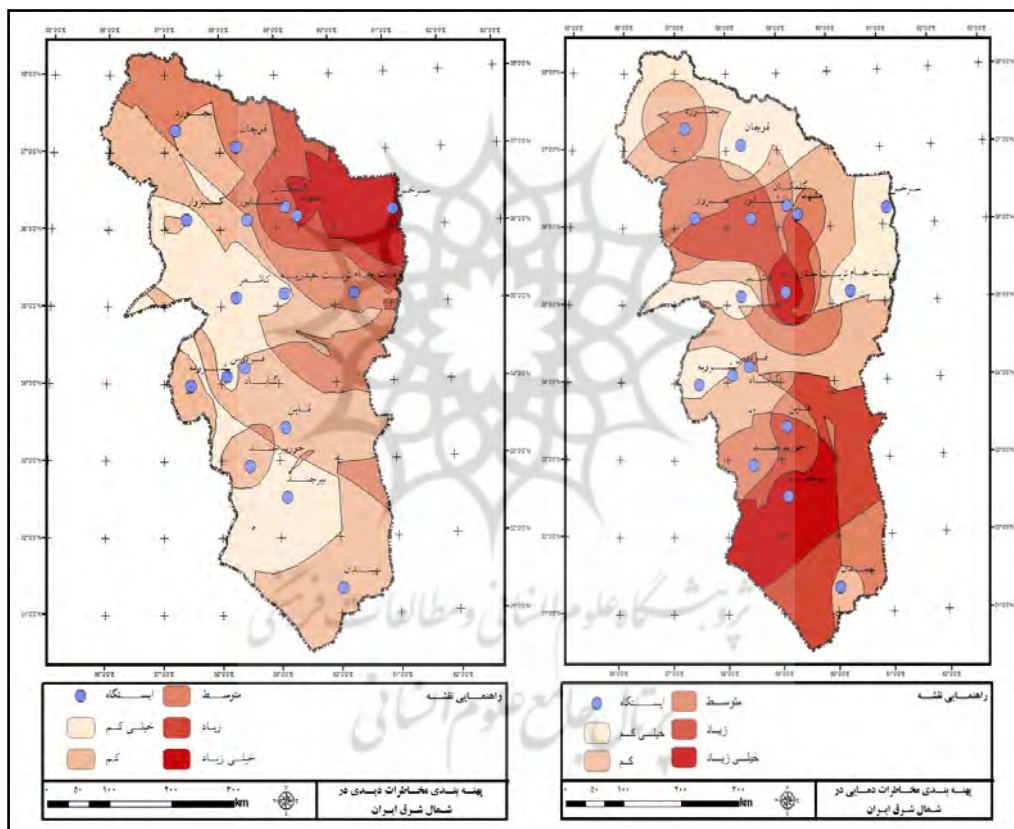
- ایستگاه‌های کاشمر، سبزوار، تربت حیدریه، گناباد و بیرجند کمترین میزان وقوع مخاطرات جوی مرتبط با دید را تجربه می‌کنند و بدین ترتیب از کم خطرترین مناطق خراسان محسوب می‌گردند.

- بطور کلی می‌توان گفت مخاطرات مرتبط با دید یک الگوی غالب مداری را بویژه در نیمه شمالی خراسان نشان می‌دهند، به طوری که از غرب به شرق بر میزان وقوع رخدادهای مرتبط با دید افزوده می‌شود.

۳. ۴. پهنه‌بندی مخاطرات دمایی

نقشه پهنه‌بندی مخاطرات دمایی از ترکیب ۳ مخاطره یخبندان، سوزیاد و امواج گرمایی تشکیل شده است. شکل ۳ بیان‌گر مخاطرات دمایی خراسان بزرگ است که در ذیل به بیان ویژگی‌های اصلی این دسته از مخاطرات در خراسان بزرگ پرداخته خواهد شد:

- مخاطرات جوی مرتبط با دما در مرکز بخش شمالی و بخش هایی از جنوب تا جنوب غربی خراسان به بیشینه فراوانی خود رسیده و بیشترین خطرآفرینی را در این مناطق دارند.
- ایستگاههای تربت حیدریه، بیرجند، مشهد، گلستان، نیشابور، قاین و خور از جمله ایستگاههایی هستند که بالاترین میزان وقوع این دسته از مخاطرات را تجربه می کنند. در مقابل، مناطق واقع در منتهی الیه شمال، شمال شرق و بخش های مرکزی در منتهی الیه غربی، از کمترین میزان مخاطرات دمایی برخوردارند و جزء امن ترین مناطق خراسان محسوب می گردند. تربت جام، کاشمر، قوچان، سرخس و بشرویه از جمله نقاطی هستند که کمترین میزان وقوع مخاطرات دمایی را تجربه می نمایند. در عین حال، مخاطرات دمایی با فراوانی وقوع متوسط نیز از الگویی پراکنده در سطح منطقه برخوردارند.



شکل ۳ پهنه بندی مخاطرات در خراسان بزرگ. سمت راست مخاطرات مرتبط با دید. سمت چپ مخاطرات دمایی

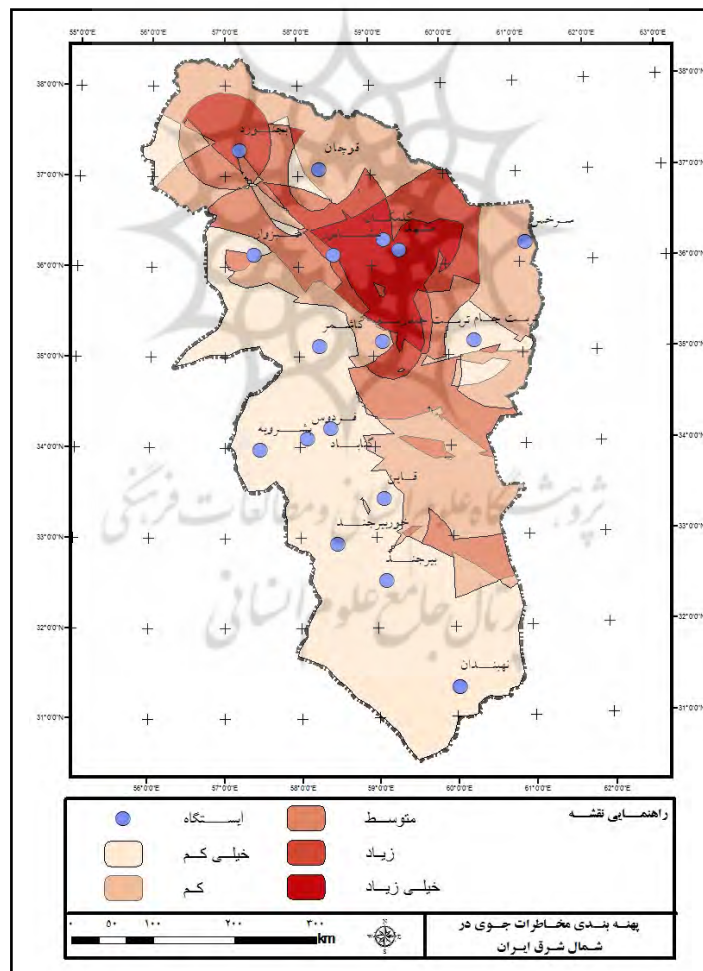
۴.۴. پهنه بندی ترکیبی مخاطرات جوی

شکل ۴ از ترکیب تمامی مخاطرات جوی در خراسان بزرگ تهیه شده است و بیانگر پهنه بندی نهایی مخاطرات جوی در خراسان بزرگ است. در واقع شکل ۴ نقشه نهایی این مقاله محسوب می گردد. نتایج نهایی به شرح ذیل است:

- در صورتی که پهنه‌بندی مخاطرات جوی در خراسان بزرگ را در ۵ دسته جای دهیم، می‌توان چنین نتیجه گیری نمود که، نیمه شمالی خراسان بزرگ دارای فراوانی وقوع مخاطرات جوی برابر و یا بالاتر از متوسط است (شکل ۴).

- مناطق کوهستانی واقع در شمال خراسان از پرمخاطره‌ترین مناطق در شمال شرق کشور محسوب می‌گردند، به طوری که از نظر میزان وقوع مخاطرات جوی در طبقه بسیار زیاد جای می‌گیرند. بررسی اجمالی نقشه‌های مخاطرات بارشی، مخاطرات مرتبط با دید و مخاطرات دمایی چنین نتیجه‌ای را تأیید می‌نمایند. چرا که مناطق یادشده، در تمامی دسته‌بندی‌های اصلی جزء پرخطرترین مناطق محسوب می‌گردند (شکل ۲ تا شکل ۳).

- ایستگاه‌های بجنورد، گلملکان و مشهد دارای بیشترین میزان مخاطرات بوده و از لحاظ فراوانی وقوع در رده بسیار زیاد قرار می‌گیرند. ایستگاه‌های مذکور علاوه بر این که در ارتفاعات بالا و عرض‌های جغرافیایی بالا قرار دارند، در معرض توده هواهای مختلف ورودی به این منطقه بوده و به شدت از آنها متأثر می‌گردند.



شکل ۴ پهنه‌بندی ترکیبی مخاطرات جوی در محلوده مورد مطالعه

-بخش‌های غربی و جنوبی خراسان بزرگ نیز کمترین میزان وقوع مخاطرات را تجربه می‌کنند. بخش‌های یادشده به دلیل نزدیکی به بیابان‌های مرکزی ایران تنها برخی از مخاطرات مرتبط با دید و مخاطرات دمایی را تجربه می‌کنند که نسبت‌شان از لحاظ تعداد کمتر از بخش شمالی استان می‌باشد. همچنین دور بودن بخش‌های غربی و جنوبی از منابع رطوبتی و قرار نگرفتن این مناطق در معرض توده هواهای مختلف، خود عاملی برای کاهش میزان مخاطرات در مناطق یادشده محسوب می‌گردد.

۵. نتیجه‌گیری

به منظور تعیین استعداد وقوع مخاطرات جوی در خراسان بزرگ، تعداد ۱۳ مخاطره جوی در سطح منطقه مورد بررسی قرار گرفت. هدف اصلی از بررسی حاضر، ارائه یک پنهان‌بندی فضایی از میزان وقوع مخاطرات جوی در محدوده شمال شرق ایران بوده است. با توجه به بررسی‌های انجام شده، نتایج کلی زیر حاصل گردیده است:

- با توجه به نقشه پنهان‌بندی مخاطرات جوی، نیمه شمالی خراسان بزرگ از نظر فراوانی وقوع انواع مخاطرات، با قرارگیری در رتبه‌های زیاد و بسیار زیاد، بالاخیزترین منطقه در شمال شرق ایران محسوب می‌گردد. در مقابل، مناطق واقع در متنهای الیه غربی و جنوبی خراسان بزرگ از کمترین میزان وقوع مخاطرات برخوردار بوده و به نوعی امن‌ترین مناطق به شمار می‌آیند. در عین حال، بخش وسیعی از مناطق واقع در مرکز و جنوب خراسان، شرایط متوسطی را از نظر وقوع مخاطرات تجربه می‌کنند.

- در خراسان بزرگ یخ‌بندان، سوزباد و روزهای توأم با غبار بالاترین فراوانی وقوع را در بین ۱۳ مخاطره جوی مورد بررسی نشان داده اند. در عین حال، کمترین فراوانی وقوع مخاطرات جوی نیز به ترتیب مربوط به خشکسالی بسیار شدید، خشکسالی شدید، تگرگ و بارش‌های حدی می‌باشد.

- در میان انواع خشکسالی، بالاترین میزان وقوع انواع خشکسالی‌ها متعلق به خشکسالی باشد متوسط است.
- بیشترین میزان وقوع بارش‌های شدید در بخش شمالی و کمترین میزان وقوع آن در بخش جنوبی خراسان بزرگ مشاهده می‌گردد. در میان ایستگاه‌های مورد مطالعه، ایستگاه‌های قوچان و تربت حیدریه بیشترین میزان وقوع بارش‌های شدید را تجربه می‌نمایند. در مقابل، ایستگاه‌های خور بیرجند و بشرویه کمترین میزان بارش‌های شدید را دارند.

- در بررسی مخاطرات جوی در قالب سه دسته اصلی (مخاطرات بارشی، مخاطرات مرتبط با دید و مخاطرات دمایی)، یافته‌ها بیانگر آن است که بالاترین میزان وقوع مخاطرات بارشی در شمال خراسان بزرگ مشاهده می‌گردد. در این رابطه هر چه از سمت شمال به جنوب حرکت کنیم از میزان وقوع مخاطرات بارشی کاسته می‌شود.

- یافته‌ها بیانگر آن است که مخاطرات مرتبط با دید در شمال شرق خراسان بزرگ از بالاترین تمرکز و فراوانی برخوردار است. ایستگاه‌های سرخس، گلستان و مشهد بالاترین میزان وقوع این دسته از مخاطرات را تجربه می‌کنند.
- نتایج بیانگر آن است که تقریباً اکثر نقاط خراسان بزرگ مخاطرات مرتبط با دید را در رتبه کمتر از متوسط دارند.
- یافته‌های تحقیق نشان‌دهنده آن است که بخش وسیعی از خراسان بزرگ مخاطرات دمایی با رتبه بسیار زیاد و زیاد را تجربه می‌کند. در عین حال، مقایسه مخاطرات دمایی با دو دسته دیگر مخاطرات (مخاطرات بارشی و مخاطرات دید)، بیانگر گستردگی بیشتر این دسته از مخاطرات در سطح منطقه است. به عبارتی، توزیع فضایی مخاطرات دمایی الگویی متفاوت را در قیاس با دو دسته دیگر مخاطرات نشان می‌دهد؛ به طوری که بخش‌های وسیعی از شمال، شرق و جنوب فراوانی بالای وقوع مخاطرات دمایی را نشان می‌دهند.

فهرست منابع و مأخذ

- اسماعیلی، امید؛ ۱۳۸۵. پنهانه بندی مقدماتی مرآکر اصلی تولید غبار کشور با استفاده از فناوری سنجش از دور. پایان نامه کارشناسی ارشد مهندسی محیط زیست. دانشکده مهندسی عمران دانشگاه صنعتی شریف.
- بداق جمالی، جواد، جوانمرد، سهیلا و شیرمحمدی، رضا؛ ۱۳۸۱. پایش و پنهانه بندی وضعیت خشکسالی استان خراسان با استفاده از SPI. فصلنامه تحقیقات جغرافیایی. شماره ۶۷، ۲۱-۴.
- بداق جمالی، جواد، جوانمرد، سهیلا و فاتح، شاهرخ؛ ۱۳۸۹. بررسی پدیده تگرگ در ایران و روش‌های کترل و مقابله با تگرگ. مجموعه مقالات چهاردهمین کنفرانس رئوفیزیک ایران. تهران، ۲۲-۲۱ اردیبهشت ۸۹ مقالات شفاهی، فیزیک فضا، ۴۷-۴۶.
- خبرگزاری مهر؛ ۱۳۸۹. گزارش بیست سوم فروردین، ۱۳۸۹، شماره و پیوند گزارش www.mehrnews.com/fa/NewsDetail.aspx?NewsID=1062522.
- حیدری، حسن و سعیدآبادی، رشید؛ ۱۳۸۶. تأثیر بندی سوزیاد در شمال غرب و غرب ایران. پژوهش‌های جغرافیایی. شماره ۶۲، ۱۰۷-۹۳.
- سلطانی، سعید و سعادتی، سیده ساره؛ ۱۳۸۶. پنهانه بندی خشکسالی در استان اصفهان با استفاده از نمایه استاندارد بارش (SPI). مجله علوم و مهندسی آبخیزداری ایران. سال اول. شماره ۲، ۶۷-۶۴.
- علیجانی، بهلول؛ ۱۳۷۶. آب و هوای ایران. انتشارات دانشگاه پیام نور تهران.
- لشکری، حسن و کیخسروی، قاسم؛ ۱۳۸۷. تحلیل آماری سینوپتیکی توفان‌های گرد و غبار استان خراسان رضوی در فاصله زمانی ۱۹۹۳-۲۰۰۵. پژوهش‌های جغرافیای طبیعی. شماره ۶۵، ۳۳-۱۷.
- گلرخ، علیرضا؛ ۱۳۸۹. بررسی تغییرات زمانی و مکانی سوزیاد در استان‌های خراسان شمالی، رضوی و جنوبي. پایان نامه کارشناسی ارشد هواشناسی. مؤسسه رئوفیزیک دانشگاه تهران.
- مهرشاهی، داریوش و نکونام، زری؛ ۱۳۸۸. بررسی آماری پدیده گرد و غبار و تحلیل الگوی وزش بادهای گرد و غبارزا در شهرستان سبزوار. نشریه جغرافیا-انجمن جغرافیایی ایران. دوره جدید. سال هفتم. شماره ۲۲، ۱۰۴-۸۳.
- محمدی، حسین؛ ۱۳۸۷. مخاطرات جوی. مؤسسه انتشارات دانشگاه تهران.

- هاشمی، فریدون؛ ۱۳۴۸. تجزیه و تحلیل استاتیکی از سرمای تهران. انتشارات تحقیقات و بررسی‌های علمی هواشناسی کل کشور.
- Branick, M.L., ۱۹۹۷. A climatology of significant winter-type weather events in the contiguous United States, ۱۹۸۲-۱۹۹۴. *Weather and Forecasting* ۱۲, ۱۹۳-۱۹۹.
- Caprio, J.M., ۱۹۶۱. A rational approach to the mapping of freeze dates. *Bulletin of the American Meteorological Society* ۱۳, ۳۳۹-۳۴۸
- Dalezios, N.R., Loukas, A., Vasiliades, L., Liakopoulos, E., ۲۰۰۰. Severity-Duration-Frequency analysis of drought and wet periods in Greece. *Hydrological Sciences Journal* ۴۵(۵), ۷۵۱-۷۶۹.
- Easterling, D.R., ۱۹۸۹. Regionalization of thunderstorm rainfall in the contiguous United States. *International Journal of Climatology* ۹(۶), ۵۶۷-۵۷۹.
- Etkin, D., and Brun, S.E., ۱۹۹۹. A Note on Canada's hail climatology, ۱۹۷۴-۱۹۹۳. *International Journal of Climatology* ۱۹(۱۲), ۱۳۵۷-۱۳۷۳.
- Engelstadler, S., ۲۰۰۱. Dust storm frequencies and their relationships to land surface conditions. Freidrich-Schiller university press, Jena, Germany.
- Frich, P., Alexander, L.V., Della-Marta, P., Gleason, B., Haylock, M., Klein-Tank, A.M.G., and Peterson, T., ۲۰۰۲. Observed coherent changes in climatic extremes during the second half of the twentieth century. *Climate Research* ۱۹, ۱۹۳-۲۱۲.
- Gheiby, A., Sen, N., Puranik, D., and Karekar, R., ۲۰۰۳. Thunderstorm identification from AM Su-B data using an artificial neural network. *Meteorological Applications* ۱۰, ۳۲۹-۳۳۶.
- Glickman, Todd S., ۲۰۰۰. *Glossary of Meteorology*. Boston, American Meteorological Society, ISBN ۱-۸۷۸۲۲-۰-۴۹-۷.
- Henriques, A.G., and Santas, M.J., ۱۹۹۸. Regional drought distribution model. *Phy. Physics and Chemistry of the Earth* ۲۴B, ۱۹-۲۲.
- Madelin, M., and Beltrando, G., ۲۰۰۰. Spatial Interpolation – Based Mapping of the Spring Frost Hazard in the Champagne Vineyards. *Meteorological applications* ۱۲, ۵۱-۵۶.
- Natsagdorj, L., Jugder, D., and Chung, Y.S., ۲۰۰۳. Analysis of dust storms observed in Mongolia during ۱۹۳۷-۱۹۹۹. *Atmospheric Environment* ۳۷, ۱۴۰۱-۱۴۱۱.
- Osczevski, R., and Bluestein, M., ۲۰۰۰. The New Wind Chill Equivalent Temperature Chart. *Bulletin of the American Meteorological Society*, ۸۱(۱۰), ۱۴۵۳-۱۴۵۸.
- Schwartz, R.M., and Schmidlin, T. W., ۲۰۰۲. Climatology of Blizzards in the Conterminous United States, ۱۹۵۹-۲۰۰۰. *Journal of Climate* 15, ۱۷۶۰-۱۷۷۲.
- Schwartz, R.M., ۲۰۰۰. Blizzard Climatology. In: *Encyclopedia of World Climatology*, Edited by John E. Oliver, Springer, ۱۶۰-۱۶۷.
- Smith, K., ۱۹۹۷. Climatic Extremes as a Hazard to Humans. In: *Applied climatology, principals and practice*, Russell D. Thompson and Allen Perry (eds), Rutledge (London), ۳۰۴-۳۱۶.
- Vestal, C.K., ۱۹۷۱. First and last occurrences of Low temperatures during the cold season. *Monthly Weather Review* ۹۹(۸), ۶۵۰-۶۵۲.
- White, G.F., ۱۹۴۰. Human Adjustment to floods, A Geographical Approach to the flood problem in the United States. Department of Geography Research paper No. ۲۹, University of Chicago.
- White, G.F., ۱۹۶۳. The limit of economic justification for flood protection. *Journal of land and public Utility Economics* ۱۲, ۳۳-۱۴۸.
- WMO., ۱۹۶۳. Protection Against frost damage. Technical Note No. ۵۱, WMO No. ۱۳۳. ۶۲pp. WWW.mazandaranmet.ir.